

زمین‌شیمی و سنگ‌زایی مجموعه آتشفشنای قلیایی-نیمه قلیایی شمال ایران مرکزی: نقش فرایندهای تفریق بلوری و غنی‌شدگی سنگهای اسیدی تا بازی در یک محیط پشت کمان

نوشته: فرامرز طوطی^{*}، سیما یزدانی^{*} و کمال الدین بازرگانی گیلانی^{*}

*دانشکده زمین‌شناسی، پردیس علوم، دانشگاه تهران، تهران، ایران

Geochemistry and Petrogenesis of an Alkaline-Calc Alkaline Volcanic Suite North Central Iran: The Role of Crystal Fractionation and Enrichment Processes in a Back-arc Environment

By: F. Tutti ^{*}, S. Yazdani^{*} & K. Bazargani-Guilani^{*}

^{*}School of Geology, University College of Sciences ,University of Tehran, Iran

تاریخ پذیرش: ۱۳۸۵/۰۶/۲۸ تاریخ دریافت: ۱۳۸۵/۰۴/۱۹

چکیده

در منطقه جنوب کهریزک، سنگهای آتشفشنای ائوسن در بخش شمالی زون ایران مرکزی رخنمون دارند. این مجموعه شامل سنگهای آذرآواری (توف و ایگنیمیریت) و گدازه‌ها (ربولیت، تراکی آندزیت، تراکی آندزیت بازالتی و بازالت) است. سنگهای آتشفشنای در محدوده مورد مطالعه، شواهد سنگنگاری (زون‌بندی، بافت غربالی و گردش‌گی سطح بلور در بلورهای پلاژیوکلاز و پیروکسن) عدم تعادل ماگما هنگام تبلور را نشان می‌دهند. بررسیهای زمین‌شیمی‌ای نشان می‌دهد که گدازه‌های منطقه در قلمرو نیمه قلیایی و قلیایی قرار می‌گیرند. غنی‌شدگی LREE در مقایسه با HREE و بالا بودن مقدار عنصر ناسازگار LILE نسبت به HFSE همچنین بی‌هنگاری شاخص Ti، Ta و Nb در گدازه‌های منطقه، از نشانه‌های سنگهای مربوط به فرورانش است. گرایش گدازه‌های منطقه به سمت سری قلیایی، به گمان نشانگر یک رژیم کششی مشابه حوضه‌های پشت کمان است.

کلیدواژه‌ها: جنوب کهریزک، ایران مرکزی، گدازه‌های نیمه قلیایی-قلیایی، پشت کمان، رژیم کششی، زون فرورانش.

Abstract

South Kahrizak volcanic rocks with Eocene age are located in the north part of Central Iran. These rocks are mainly composed of pyroclastics (tuff and ignimbrites) and lava flows (rhyolite, trachyandesite, basaltic trachyandesite and basalt). Petrographic evidence such as: zoning, sieve texture and rounded crystals in plagioclase and pyroxene phenocrysts show the non-equilibrium conditions between melt and crystals during magma cooling. Geochemical characteristics indicate that these rocks locate in the subalkaline to alkaline domain. The highly enrichment of LREE compared to HREE, high content of LILE relative to HFSE and significant anomalies of Nb, Ta and Ti reveal the characteristics of a subduction - related volcanism. Whereas, the alkaline affinity of rocks shows that they may have formed in an extentional region, most probably a back-arc basin.

Keywords: South Kahrizak, Central Iran, Subalkaline- alkaline lava , Back-arc, Extentional region, Subduction zone.

مقدمه

مرکزی واقع شده است (شکل ۱). این سنگها متعلق به ائوسن و عمدهاً با آبرفت‌های کواترنری، و در شمال و خاور با مارنهای کرم‌رنگ ژیپس‌دار و کنگلومراتی کهریزک (رسوبات نئوژن-کواترنر) پوشیده شده‌اند. با توجه

سنگهای آتشفشنای جنوب کهریزک در محدوده طول و عرضهای جغرافیایی $30^{\circ}, 30' - 51^{\circ}, 51'$ و $30^{\circ}, 30' - 35^{\circ}, 35'$ در ۴۰ کیلومتری جنوب تهران، مسیر جاده قدیم تهران - قم و در شمالی‌ترین بخش ایران



ناحیه تحت اثر چین خوردگی شدید قرار نگرفته‌اند (رسوی، ۱۳۵۳).

۲- سنگنگاری و کانی‌شناسی

ایگنیمیرتها از جمله قدیمی‌ترین واحد سنگی هستند که به طور وسیع در خاور، شمال و مرکز توده آتشفشنانی گسترش دارند. فعالیتهای آتشفشنانی ابتدایی، شدت انفجار بسیار بالایی داشته و نهشته‌های آذرآواری مختلفی را تولید کرده و با خروج روانه‌های گدازه ادامه می‌یابند. ایگنیمیرتها دارای ترکیب ریولیتی تا داسیتی با بافت اوتاکسیتی هستند (شکل ۲) که فیامهای پر شده از سیلیس، در مواردی همراه با کلسیت ظاهری جریانی به سنگ داده است. فرایندهای ثانویه بعد از نهشته‌شدن شامل: جوش خوردگی و فشردگی، تبلور گازهای بهدام افتاده، و شیشه‌زدایی مواد شیشه‌ای می‌باشد. همچنین تغییرات وابسته به کاهش حجم تدریجی و سنگ‌شدگی نظیر: مسطح شدگی و درهم‌شکستگی شاردهای شیشه، کمبود فیامها، و گاهی از بین رفتن بافت اسفنجی قطعات پومیس، غالباً مشاهده می‌شود. توفها اغلب در بین و یا زیر ایگنیمیرتها قرار گرفته‌اند و از لحاظ سنگ‌شناسی به طور عمده داسیتی و ریوداسیتی و کمتر تراکیتی هستند. گدازه‌های داسیتی بیشتر در خاور و شمال خاور رخنمون داشته و بر روی نهشته‌های آذرآواری قرار گرفته‌اند. در برخی از این نمونه‌ها درشت بلورهای فلدسپار، کوارتز، بیوتیت و به ندرت کلینوپیروکسن در یک زمینه شیشه‌ای به رنگ نارنجی و قهوه‌ای به همراه شکستگی‌های پرلیتی قرار گرفته‌اند که قسمتهای نارنجی خمیره متلبور ریز دانه با بافت اسپرولیتی را تشکیل داده و قسمتهای قهوه‌ای شیشه زمینه رگه‌های جریان یافته و چین خورده‌ای را در بین اسپرولیتی‌ها ایجاد کرده است (شکل ۳). گدازه‌های آندزیتی در تمام ناحیه گسترش یافته‌اند. ویژگی‌های اصلی و وجه تمایز آنها از دیگر سنگها به علت‌های زیر است: (الف) دگرسانی شدید تحت تأثیر آبهای گرم و تا حدودی آبهای جوی و (ب) فراوانی رگه‌ها، رگچه‌ها و حفره‌های پر شده با زئولیت‌هایی مانند آنانالیسم، لوین، تتراتاترولیت، ناترولیت، مزویلت، کلسیم - هیولنیت، کلسیم - استیلیت، و همچنین دیگر کانیهای همراه آنها مانند کلسیت، کوارتز، اپال و در موارد نادر پیرولوزیت در تمام نواحی که سنگهای آندزیتی گسترش یافته‌اند، می‌باشد (Bazargani-Guilani & Rabbani, 2004).

گدازه‌های تراکی آندزیتی بر روی گدازه‌های آندزیتی قرار داشته و دارای بافت بادامکی و رگه‌های پرشده با مواد ثانویه یا فاقد آن هستند. فراوان ترین کانی موجود در تراکی آندزیتها پلاژیوکلاز است که در آنها ویژگی‌های مانند زون‌بندی، بافت غربالی، حاشیه گرد شده و آثار خلیج خوردگی همانند آندزیتها مشاهده می‌شود. بافت غربالی در برخی پلاژیوکلازها ممکن است

به موقعیت زمین‌شناسی ناحیه جنوب تهران، جنوب کهریزک، و سن این سنگهای آتشفشنانی، بررسیهای سنگ‌شناختی و تعیین خاستگاه زمین‌ساختی-ماگمایی آن در رابطه با تکامل ساختاری ایران مرکزی و البرز در زمان ائوسن می‌تواند ثمریخش باشد.

با نگاهی بر پژوهش‌های انجام شده در اطراف منطقه مورد مطالعه مانند سنگهای آتشفشنانی ائوسن مناطق حسن‌آباد در ۶۰ کیلومتری جنوب تهران (رسوی، ۱۳۵۳)، ریاط‌کریم در ۶۵ کیلومتری جنوب باختیر تهران (روان بد، ۱۳۶۶)، دوازده‌امام واقع در شمال دریاچه نمک (حسینی، ۱۳۶۷) و منطقه سیاه‌کوه شمال خاور دریاچه نمک (بنی طبا بید‌گلی، ۱۳۶۸) می‌توان به همانندی بین انواع گوناگون گدازه‌ها و سنگهای آذرآواری و همچنین همیستگی میان ترکیب شیمیایی در این مناطق پی برد. به طوری که از سیاه‌کوه در فاصله دورتر، به سمت منطقه مورد مطالعه در شمالی ترین قسمت ایران مرکزی، سنگها به سمت ترکیب‌های پتاسیم بالا پیش می‌روند.

۱- زمین‌شناسی منطقه

سنگهای آتشفشنانی و آذرآواری‌های منطقه مورد مطالعه مربوط به ائوسن و واحدهای رسوبی آن مربوط به نژوژن است (Rieben, 1955). فرانهای انفجاری زیردریایی سبب تشکیل توف و برش شده و سنگهای ایگنیمیری، در محیط خشکی نهشته شده‌اند. مجموعه مذکور در مراحل ابتدایی فعالیت آتشفشنانی ایجاد شده و سپس سنگهای آتشفشنانی حدواسط تا بازی ظهور یافته‌اند. توفها عمدتاً روش رنگ و ایگنیمیرتها به صورت پهنه‌های وسیع و سبیر به رنگهای قهوه‌ای- ارغوانی با بافت منشوری و ساخت جوش خورد و جریانی مشاهده می‌شوند. بخش رسوبی شامل سری نژوژن و کواترنری است که به حالت دگرشیب روی سنگهای آتشفشنانی قرار گرفته است. قسمتهای خاور و باختیر سریهای آتشفشنانی توسط کنگلومرا و مارن‌های روش رنگ احاطه شده که معادل بخش بالایی سازند سرخ بالایی (M3) است (Rieben, 1955). با توجه به مارنهای ماسه‌ای محنت‌توی قلوه سنگهای توف سبز گرد شده و خرد سنگهای آتشفشنانی در روی این سازند، به احتمال زیاد سن آنها توزن است (Rieben, 1955; Berberian, 1983). بعد از مارنهای ژیپس‌دار، آبرفت‌های سازند کهریزک با سن احتمالاً کواترنر پیشین (ویلافراشنین) قرار دارد (Rieben, 1955). مهم‌ترین سیماهای زمین‌ساختی منطقه گسلهایی با امداد شمال باختیر- جنوب خاور و شبی نزدیک به قائم است. همچنین فازهای کوهزاری آلبی بر روی سنگهای آتشفشنانی اثر گذاشته ولی با توجه به شبی ملایم لایه‌های توفی در سراسر میدان گدازه ظاهراً سنگهای آتشفشنانی این



در فشارهای کم را نشان می‌دهد (شکل ۷). U، Th، Rb، Nb و تاحدودی Ba با افزایش مقدار SiO_2 در توالی سنگی، روندهای افزایشی نشان می‌دهند. سیر کاهشی Sr مانند Ca از سنگهای بازی به اسیدی با تبلور پلاژیوکلاز و پیروکسن منطبق است.

اختلاف در عناصر فرعی سنگهای مختلف موجود در منطقه ممکن است بستگی به اختلافاتی داشته باشد که از منشأ به ارت برده‌اند. همچنین تغییرات Hf در برابر Zr سیر پیوسته‌ای دارد (شکل ۸) که نمایانگر سیر تحول ماگمایی یکسان برای انواع گدازه‌های بازالتی و تراکی آندزیتی موجود در منطقه است. نسبت La/Sm در برابر La و مسیر همبستگی موازی نمونه‌ها با محور تغییرات La بیانگر تبلور تفریقی ماگما است (Allegre & Minster, 1978).

شکل ۱۰ نشان می‌دهد که سنگهای بازالتی موجود در منطقه در مقایسه با دیگر سنگها دارای نسبتهای بالاتری از La/Th هستند. مقدار Th در طی فرایندهای دگرگونی و یا دگرگونی پایدار است (Rolland et al., 2000). بیشتر نمونه‌های بازالتی از منشأ MORB به دور هستند. سنگهای تراکی آندزیتی و سپس ریولیتها به تدریج از بازالتها فاصله گرفته و دارای نسبتهای بالاتری از Th/Co بوده و بنابراین از عنصر Th نسبت به MORB غنی شده‌اند. در ضمن نسبت Th/Co در ریولیتها نزدیکی زیادی با نسبتهای پوسته نشان می‌دهد. با توجه به این نمودار، آلایش پوسته‌ای سنگهای ریولیتی و تفکیک در اعضای تفریق یافته سنگهای بازی، حدواسط و اسیدی برای توده جنوب کهریزک قابل انتظار است. به طور کلی تمام نمونه سنگهای منطقه از LREE نسبت به کندریت غنی شده‌اند، در حالی که از HREE غنی‌شدگی کمتری نشان می‌دهند. REEs در تراکی آندزیتها و ریولیتها غنی‌شدگی بیشتری نسبت به بازالتها و تراکی آندزیت بازالت دارند (شکل ۱۱). این عناصر در هنگام تبلور تفکیکی در مابع باقی مانده و در مراحل پسین به طور محدود جانشین عناصر LiL (یونهای بزرگ سنگ‌دوست) شده (Krauskopf & Bird, 1995) و در پایان غلظت آنها در سنگهای ریولیتی و تراکی آندزیتی می‌تواند افزایش یابد. وجود بی‌هنجری کاهشی Eu در ریولیتها و تراکی آندزیتها موجود در منطقه در صورتی توجیه می‌شود که محصول تفکیک از ماگمای مادر مشترک با بازالتها باشند. همچنین نسبت $_{\text{La}}/\text{Yb}$ (Mحدوده‌ای بین ۷ تا ۸ برای سنگهای ریولیتی و تراکی آندزیتی و بین ۵ تا ۶ برای بازالتها و تراکی آندزیت بازالتی دارد. این امر نشان‌دهنده تشکیل ریولیتها و تراکی آندزیتها در مراحل پایانی و تکامل یافته‌تر تفریق بلوری است. غلظت بالای LREE می‌تواند به دلیل درجات کم ذوب بخشی منشأ و یا یک منشأ غنی شده از آنها نیز در نظر گرفته شود. در شکل ۱۱

به طور فراگیر در تمام بلور (شکل ۴-الف)، در حاشیه و یا در حاشیه بلور همراه با رشد و زون‌بندی بعدی بلور (شکل ۴-ب) مشاهده شود. پژوهشگران مختلف تشکیل بافت غربالی در پلاژیوکلازها را به افت سریع فشار بازالتی ضمن حفظ مشابههای سنگ‌شناسی خود، به دو گروه واحد رئولیت و بدون آن قابل تفکیک‌اند. بلورهای کلینوپیروکسن در تراکی آندزیت بازالتی گاهی دارای میانبارهایی از کانیهای کدر و شیشه به صورت بافت غربالی است و در حاشیه آن زون‌بندی مشاهده می‌شود (شکل ۴-ج)، در بازالتها کلینوپیروکسن‌هایی با حاشیه واکنشی نیز وجود دارد (شکل ۴-د). Nakagawa et al. (2002) بر این باورند که ترکیب درشت‌بلورهای کلینوپیروکسن و زون‌بندی آنها در سنگهای آتشفشنانی، فرایندهای ماگمایی را در اتاق ماگمایی پیش و همزمان با انفجار ثبت می‌کند.

Sakuyama (1979) بافت‌های نامتعادل مانند زون‌بندی درشت‌بلورهای پیروکسن در سنگهای آتشفشنانی کلسیمی-قلیایی را به صورت نتیجه‌ای از آلایش با پوسته قاره‌ای، تغییر ناگهانی فشار H_2O و آمیختگی ماگمایی تفسیر می‌کند و معتقد است آمیختگی ماگمایی مهم‌ترین فرایند برای ایجاد بافت‌های نامتعادل در این سنگهاست.

۳- زمین‌شیمی

اندازه‌گیری عناصر اصلی و فرعی با استفاده از روش ICP-ES و ICP-MS در آزمایشگاه ACME کانادا بر روی ۱۴ نمونه گدازه از سنگهای جنوب کهریزک انجام شده است (جدول ۱). این سنگهای آتشفشنانی در نمودار Le Bas et al. (1986) محدوده وسیعی از ریولیت، تراکی آندزیت، تراکی آندزیت بازالتی و بازالت را به خود اختصاص می‌دهند (شکل ۵). سنگهای بازالتی بر اساس رده‌بندی Draper & Johnston (1992) در محدوده سنگهای بازالتی آلومینیم بالا (high alumina basalt) قرار می‌گیرند و اغلب جزو بازالت‌های فقیر از Mg و تحول یافته هستند. سنگهای آتشفشنانی منطقه مورد مطالعه در نمودار مجموع قلیایی - سیلیس (Le Maitre et al., 1989) در منطقه به طور عمده نیمه قلیایی و قلیایی واقع می‌شوند (شکل ۶). محدوده‌ای که سنگها در آن واقع شده‌اند توسط Raos & Crawford (2004) به صورت منطقه گذرا (transitional) سریهای ماگمایی نیمه قلیایی به قلیایی در نظر گرفته شده است.

روندهای تغییرات مقادیر عناصر اصلی و فرعی در برابر SiO_2 ، الگوی عادی تفریق و توالی عمومی تبلور کانیها در هنگام تفریق یک مذاب سیلیکاتی



متمايز می‌کند. سنگهای بازالتی و تراکی آندزیت بازالتی منطقه نسبت به منشأ MORB غنی شده‌تر هستند (روندي مشابه با منشأ کمان داشته) و غنی شدگی زون فرورانش (SZE) و ذوب بخشی حاصل از گوشه HREE (PM) را نشان می‌دهند. با توجه به اینکه LILE نسبت به HFSE و Cr < ۱۴٪، Mgo < ۷٪ و Ni < ۵۱٪ در گدازه‌ها چنین استنباط می‌شود که سنگهای منطقه از یک ماگمای تحول یافته حاصل شده‌اند. این نتیجه‌گیری با نگاهی به شکل ۱۳ قطعیت بیشتری پیدا می‌کند.

در تمام نمونه‌ها کمترین غنی شدگی مربوط به Lu، yb، y و Dy است که روند یکسانی را نشان می‌دهند. همچنین در همگی بی‌亨جاري افزایشی Cs، U، K، Pb، Sm و بی‌هنجاري کاهشی در Ti و Nb مشاهده می‌شود. بین این دو گروه سنگی (شکل ۱۲) تفاوت‌های نیز وجود دارد، به طوری که ناسازگارترین عناصر، تقریباً در مذاب اولیه وارد شده و سپس با افزایش درجه ذوب بخشی، از مقدار آن در مایع مذاب کاسته شده است. رفتار متفاوت گروههای مختلف عناصر فرعی (شکل ۱۲) به صورت غنی شدگی در عناصر شامل LIL (غنی شدگی Ba>Rb) برای سنگهای گروه اول و Rb>Ba برای سنگهای گروه دوم) در روند کلی به نسبت Nb و HREE و عناصر HFS به همراه بی‌هنجاري کاهشی آشکار، برای Ti همگی با توجه به تحرک عناصر قابل توضیح می‌باشد. فورونگی‌های Ti و Nb، Ta در روند کلی سنگها مشخصه سنگهای کمان ماگمایی است (Gioncada et al., 2003).

در شکل ۱۵ عناصر کمیاب Ta و Th نسبت به Yb سنجیده می‌شود تا تغیرات شیمیایی ناحیه مشاً شامل غنی شدگی، آلاش پوسته‌ای و تفرق بلوری مشخص شود. تغیرات نسبت Th/Yb و Ta/Yb معکس کننده تغیرات مشاً است. همچنین ناهمگی مشاً Ta و Th را به طور مساوی تحت تأثیر قرار داده و بنابراین ترکیب گوشه نسبت به گوشه اولیه در طول یک شب واحد به سمت نسبتهای بالاتر یا پایین تر Ta/Yb و Th/Yb حرکت خواهد کرد (Rolland et al., 2000 ; Rollinson, 1993).

سنگهای جنوب کهریزک در این نمودار عمدها در محدوده کلسیمی-قلایی و شوشونیتی و غنی از Th و تقریباً تهی شده از Ta قرار گرفته‌اند و با منشأ گوشه‌ای غنی شده تطابق دارد. غنی شدگی Th حاصل فازهای سیال مرتبط با فرورانش است (Wilson, 1989) (مؤلفه W در شکل ۱۵). همچنین روندی مشابه CF₄, S که گویای تفرقی بلوری پس از غنی شدگی است، برای سنگهای (بازالتی و تراکی آندزیت) منطقه ملاحظه می‌شود. در شکل ۱۶ سنگهای آتشفشنایی ائوسن حوضه Buck Creek کانادا رسم شده است (Hawkesworth et al., 1993).

مقدار عناصر فرعی این سنگها در شکل ۱۱-الف مشخص شده است. سنگهای آتشفشنایی حوضه Buck Creek و گدازه‌های منطقه مورد مطالعه در محدوده‌ای به دور از کمانهای ماگمایی قرار می‌گیرند (سنگهای آتشفشنایی کلسیمی-قلایی پتاسیم بالای NV, K در Buck Creek در جایگاه کششی درون کمان تشکیل شده‌اند). (Dostal et al., 2001)

همان‌طور که مشاهده می‌شود، گدازه‌های تراکی آندزیتی و ریولیتی روندی مشابه پوسته بالایی همراه با بی‌هنجاري منفی در Eu و غنی شدگی بیشتر از HREE و گدازه‌های بازالتی و تراکی آندزیت بازالتی روندی مشابه پوسته قاره‌ای دارند. از طرفی با توجه به میزان < ۱۴٪ Cr و < ۷٪ Mgo در گدازه‌ها چنین استنباط می‌شود که سنگهای منطقه از یک ماگمای تحول یافته حاصل شده‌اند. این نتیجه‌گیری با نگاهی به شکل ۱۳ قطعیت بیشتری پیدا می‌کند.

در تمام نمونه‌ها کمترین غنی شدگی مربوط به Lu، yb، y و Dy است که روند یکسانی را نشان می‌دهند. همچنین در همگی بی‌هنجاري افزایشی Cs، U، K، Pb، Sm و بی‌هنجاري کاهشی در Ti و Nb مشاهده می‌شود. بین این دو گروه سنگی (شکل ۱۲) تفاوت‌های نیز وجود دارد، به طوری که ناسازگارترین عناصر، تقریباً در مذاب اولیه وارد شده و سپس با افزایش درجه ذوب بخشی، از مقدار آن در مایع مذاب کاسته شده است. رفتار متفاوت گروههای مختلف عناصر فرعی (شکل ۱۲) به صورت غنی شدگی در عناصر شامل LIL (غنی شدگی Ba>Rb) برای سنگهای گروه اول و Rb>Ba برای سنگهای گروه دوم) در روند کلی به نسبت Nb و HREE و عناصر HFS به همراه بی‌هنجاري کاهشی آشکار، برای Ti همگی با توجه به تحرک عناصر قابل توضیح می‌باشد. فورونگی‌های Ti و Nb در روند کلی سنگها مشخصه سنگهای کمان ماگمایی است (Gioncada et al., 2003).

همراه با تهی شدگی از Ta و Nb می‌تواند مربوط به ناهمگی LILE همراه با منشأ گوشه سنگ کره‌ای غنی شده به وسیله فرایند فرورانش باشد (Dostal et al., 2001). با وجود این، شواهد ژئوشیمیایی در مدل فرورانش مانند بی‌هنجاري Nb و Ta، در بعضی از جایگاه‌های مناطق پس از برخورد (Postcollisional) به جای آن که نشان دهنده مشاً واقعی خود باشند، شواهدی از آغشتنگی با گوشه سنگ کره‌ای در آنها دیده می‌شود (Juteau & Maury, 1997).

به اعتقاد (Rollinson 1993) بی‌هنجاري منفی Nb شاخص سنگهای قاره‌ای و ممکن است نشان دهنده شرکت پوسته در فرایندهای ماگمایی باشد. در شکل ۱۲ دو گروه سنگی، بازالتها و تراکی آندزیت بازالتی، ریولیت‌ها و تراکی آندزیتهای جنوب کهریزک با سنگهای آتشفشنایی کرتاسه تا سوزوژیک جنوب کره و زاپن و همچنین سنگهای آتشفشنایی ائوسن حوضه Buck Creek (کانادا) مقایسه شده است.

در شکل ۱۳، نشانه‌های شیمیایی مانند نسبتهای بالای LILE/REE و LILE/HFSE ماگمایی کمان را از دیگر محیط‌های زمین‌ساختی



بحث و نتیجه گیری

استنباط کرد که به احتمال گدازه‌های اسیدی از گدازه‌های بازالتی مشتق شده‌اند. این فکر با مشاهده شدن نهشته‌های آذرآواری (ایگنیمیریتها و توفها) در زیر گدازه‌ها تقویت می‌شود. شواهد به دست آمده برای ماهیت آبدار ماگماتیسم توده آتشفشنایی نظیر طبیعت انفجاری آتشفشنایها اعم از وجود نهشته‌های آذرآواری، وجود درشت بلورهای آمفیبول در برخی از گدازه‌ها، سیالات گرمابی که به شدت سنگهای منطقه را تحت تأثیر قرار داده‌اند و عدد منیزیم پایین در سنگهای منطقه است. توالی کانیهای زئولیتی و ثانویه موجود در حفره‌ها و رگه‌های این سنگها نیز می‌تواند گویای فراوانی عناصر قلایی (K, Na) و کلسیم در ماغماهای مادر که این سیالات احتمالاً از آن مشتق شده‌اند، باشد. از آنجا که آندزیتها و داسیتها در کمانهای بیشتر بالغ و روی حاشیه قاره‌ای غالب‌اند، وجود نهشته‌های ایگنیمیری با ترکیب ریولیتی و ریوداسیتی در منطقه می‌تواند نشانگر یک کمان بالغ باشد بر پوسته قاره‌ای زیادترند و ریولیتیها ایگنیمیری فقط در کمانهای دیده می‌شوند که روی پوسته قاره‌ای قراردادشته و در اغلب موارد، از ذوب بخشی همین پوسته بوجود می‌آیند. بربریان و یاسینی (1993) زایش حوضه رسوی سازند قم در قسمتی از ایران مرکزی را ناشی از فروزانش پوسته اقیانوس نو تیس به زیر لبه قاره‌ای فعال جنوب خاور ایران مرکزی در الیگو-میوسن می‌دانند که سبب تشکیل حوضه‌های گسترش پشت کمانی در مرکز و شمال ایران مرکزی (رژیم زمین ساختی کششی محلی) هم‌زمان با رژیم زمین ساختی کلی فشارشی، شده است.

Hassanzadeh et al. (2003) آتشفشنایهای مثنی از نظر مشتاً به هم مرتبط‌اند و اساساً یک کمان پالئوسن - ائوسن میانی را تشکیل می‌داده‌اند که روی سمت شمالی زون فروزانش تحت اوراسیا تشکیل شده‌اند. کمان اولیه (protoarc) البرز - ارومیه - نائین بعداً دستخوش کشش داخل و پشت کمان شده است. بنابراین توده آتشفشنایی قلایی - نیمه قلایی جنوب کهریزک نیز که در شمالی‌ترین قسمت ایران مرکزی واقع شده تحت تأثیر فرایندهای اخیر شکل گرفته است. از مقایسه گدازه‌های جنوب کهریزک با سنگهای آتشفشنای کرتاسه تا سنوزوییک جنوب کره و ژاپن و سنگهای آتشفشنای ائوسن حوضه Buck Creek این‌گونه استنباط می‌شود که گدازه‌های بازالتی و تراکی آندزیت بازالتی جنوب کهریزک در محدوده‌ای بین دو رژیم فشارشی و کششی از لحاظ تمرکز عناصر فرعی قرار داشته و با نمونه‌های مربوط به یک رژیم کششی در سنگهای مرتبط با کمان در جنوب کره، تطابق بیشتری دارند. همچنین الگوی عناصر فرعی سنگهای منطقه منطبق با سنگهای آتشفشنای

مجموعه ویژگیهای سنگنگاری و زمین‌شیمیابی که به آن اشاره شد، حاصل رویدادهای مختلف از هنگام تشکیل ماگما، تا صعود و سپس فوران در سطح زمین و تغییرات بعد از آن است که مجموعاً سبب پیچیدگیهای در فرایند تکوین این سنگها شده است. از نظر ترکیب شیمیابی، سنگهای تراکی آندزیتی در زمرة سنگهای پتاسیم به نسبت بالا قرار گرفته و در نمودارهای تغییرات در منطقه‌ای قرار می‌گیرند که عضو انتهایی بازی و ریولیتی در دو سمت خود دارند همچنین در اصل شواهد آمیختگی ماغمایی را در مطالعات میکروسکوپی نشان می‌دهند. بنابراین با توجه به روند عناصر اصلی و کمیاب به اضافه شواهد سنگنگاری، سنگهای تراکی آندزیتی پتاسیم بالا ممکن است طی فرایند تبلور تفکیکی از ماغمای هیرید حاصل شده باشد (Gioncada et al., 2003). همچنین سنگهای آتشفشنای جنوب کهریزک به طور عمده نیمه قلایی بوده و در یک محدوده انتقالی از کلسیمی - قلایی به طبقه قرار می‌گیرند. به اعتقاد (1989) Wilson سنگهایی این چنین ممکن است در یک رژیم کششی مشابه حوضه‌های پشت کمان تشکیل شده باشند. از نظر بررسیهای عناصر کمیاب گدازه‌های جنوب کهریزک به شدت از LREE غنی شده‌اند، الگوی HREE در آنها مسطح می‌باشد، غنی‌شدگی پیشتر از عناصر کمیاب در گدازه‌های اسیدی تا حد واسطه نسبت به گدازه‌های بازی، و بی‌亨جاري کاهشی Eu تنها برای ریولیتها و تراکی آندزیتها ملاحظه می‌شود. این موارد به گمان بیانگر تفرقی یافتن سنگهای ریولیتی از یک مگمای والد مشترک با بازالتها است. مقادیر کم V, Sr, P, Ti به همراه Eu می‌تواند بیانگر تفکیک فازهای کانیهای اصلی مشاهده شده در نمونه‌ها، برای تولید ماغمای ریولیتی باشد (Gioncada et al., 2003). به هر حال، مقادیر بعضی عناصر اصلی، غنی‌شدگی از LREE و LILE به نسبت HREE و HFSE به همراه غنی‌شدگی کمتر Ta-Nb (Stolz et al., 1996) و این مدل نزدیکی با سنگهای مرتبط با کمان دارد (Dostal et al., 2001) مشخصه سنگهای مرتبط توزیع عناصر، به اعتقاد غنی‌شدگی کمیاب ناسازگار در سنگ‌های ریولیتی و تراکیتی با فروزانش و یا سنگهایی که با پوسته بالایی آلاش یافته‌اند، می‌باشد. غنی‌شدگی بیشتر عناصر کمیاب ناسازگار در سنگ‌های ریولیتی و آلاش می‌تواند انعکاسی از اثرات مشتق شدن از مشتاً گوشه غنی شده و آلاش پوسته‌ای به طور توأم باشد (Wilson, 1989). در این بین، تفرقی بلوری و غنی‌شدگی ناشی از یک فاز سیال نیز نقش ایفا کرده‌اند. از آنجا که محتوى MgO در سنگهای ریولیتی و تراکی آندزیت بازالتی بسیار پایین ($<21\%$) است، به اضافه بی‌هنجاري کاهشی $TiO_2 = 40-60\%$ و میزان کم P (تنهای برای ریولیتها)، تمام موارد ذکر گردیده در قبل، می‌توان چنین



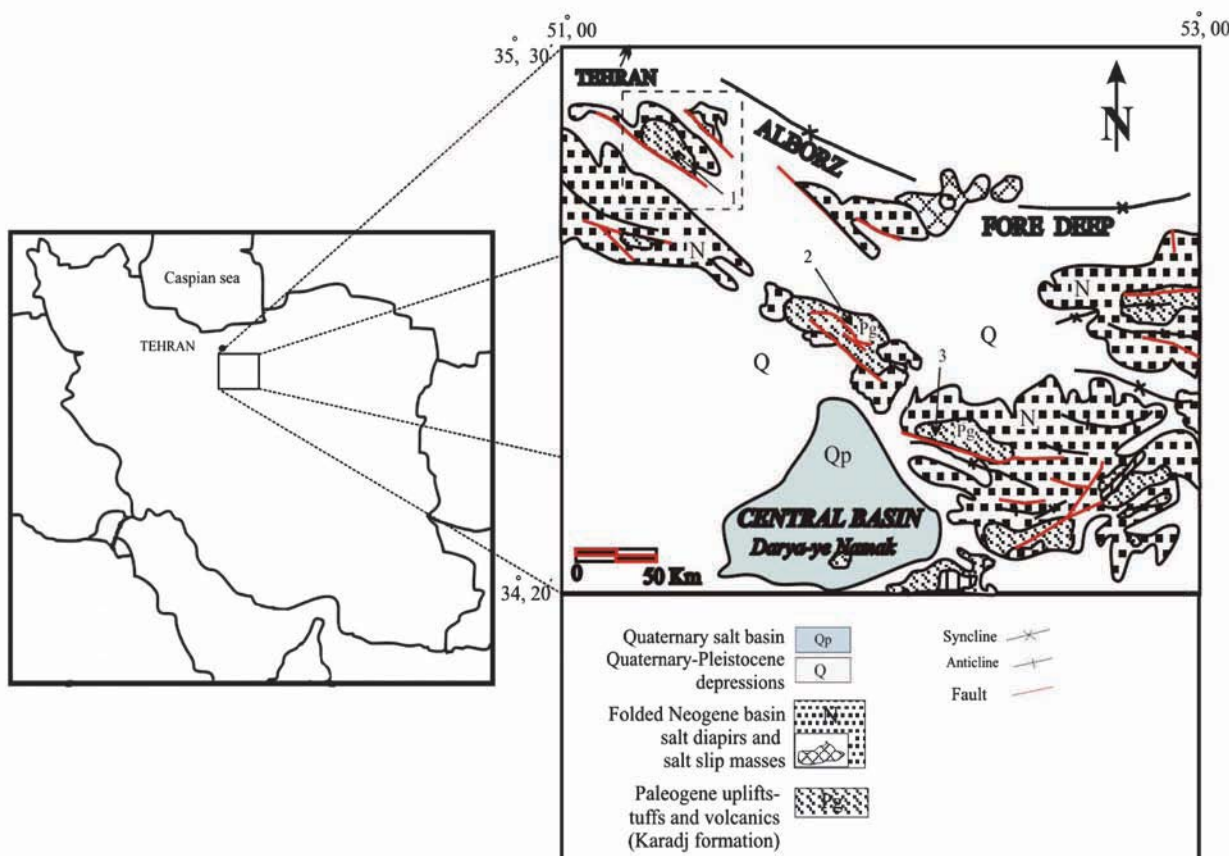
سپاسگزاری

نویسنده‌گان تشکر خود را از معاونت محترم پژوهشی دانشگاه تهران به‌خاطر تأمین هزینه‌ها از اعتبارات طرح تحقیقاتی به شماره ۱۰۲/ک/۶۱۰۵ و بخش دیگر، از اعتبارات طرح بین دانشگاهی، اعلام می‌دارند. همچنین از همکاران گروه زمین‌شناسی دانشکده علوم دانشگاه تهران که امکان انجام این پژوهش را فراهم کردند، صمیمانه قدردانی می‌شود.

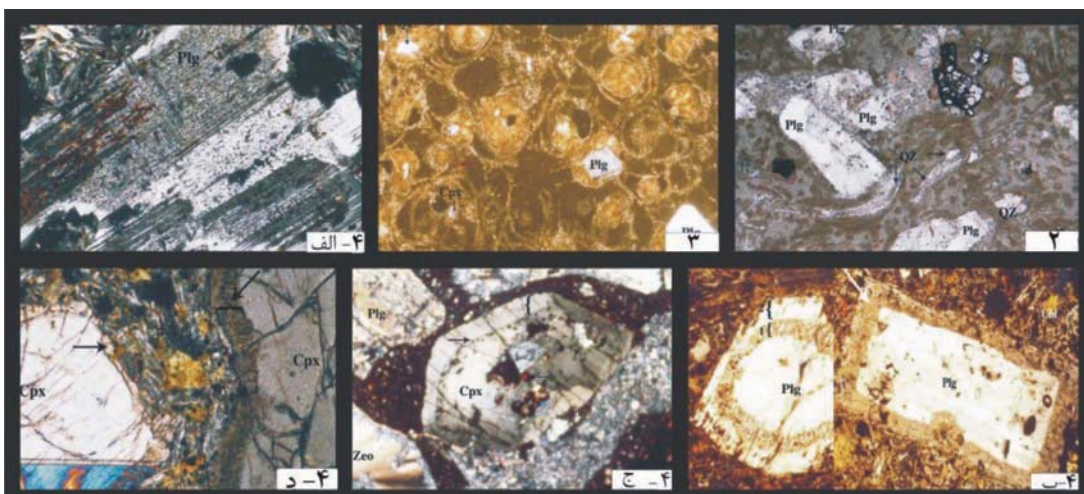
کرتاسه میانی ناحیه شمال (شمال باختر هیمالیا) است که جایگاه زمین‌ساختی آن را به ناحیه پشت کمان نسبت داده‌اند. در نهایت سنگهای آتشفشنانی جنوب کهریزک از لحاظ مشخصات سنگ‌شناختی و زمین‌شیمی مشخصات یک جایگاه زمین‌ساختی پشت کمان را نشان می‌دهند.

جدول ۱- ترکیب شیمیایی عناصر اصلی (درصد) و فرعی (ppm) گدازه‌های جنوب کهریزک، در صد عناصر بر اساس دستورالعمل Le Bas et al. (1986) پس از محاسبات لازم برای مواد فرار و روش Le Maitre (1976) برای آهن کل نوشته شده است. آزمایش و تجزیه نمونه‌ها در آزمایشگاه ACME انجام گرفته است.

Sample	Basalte									Basaltic trachy andesite		Trachyandesite		Rhyolite	
	1	2	3	4	5	6	7	8	9	1	1	2	1	2	
SiO ₂	49.61	50.1	50.68	50.54	50.54	50.95	48.0	50.2	49.5	51.25	57.03	58.65	70	72.56	
Al ₂ O ₃	19.83	17.29	19.49	21	18.47	21.28	17.11	17.81	19.23	21.43	16.39	18.43	14.84	14.18	
K ₂ O	1.34	1.33	1.64	1.22	1.18	1.48	1.75	1.55	1.36	1.4	3.07	3.41	8.07	3.52	
Na ₂ O	2.87	2.58	3.08	2.58	2.89	3.01	2.85	3.01	2.88	4.63	3.54	4.71	1.85	3.75	
CaO	10.82	9.72	9.18	10.77	10.23	9.72	8.06	9.54	10.23	7.55	6.17	4.65	0.34	2.36	
MgO	3.99	6.73	3.84	4.14	4.62	4.03	6.79	4.49	4.21	4.28	2.6	2.27	0.09	0.63	
MnO	0.14	0.15	0.14	0.13	0.15	0.16	0.23	0.14	0.14	0.09	0.1	0.07	0.13	0.05	
FeO	6.25	6.77	6.32	5.35	6.62	5.66	7.18	7.15	6.81	4.79	4.81	3.08	2.27	1.15	
Fe ₂ O ₃	3.69	3.92	3.99	3.08	3.91	2.36	4.27	4.4	4.02	3.45	4.01	3.23	1.43	1.32	
TiO ₂	1.13	1.06	1.28	0.92	1.13	1	2.13	1.33	1.23	0.88	1.44	0.9	0.78	0.39	
P ₂ O ₅	0.3	0.33	0.36	0.26	0.34	0.29	0.98	0.36	0.35	0.25	0.82	0.59	0.15	0.09	
Total	99.99	99.98	100	99.99	99.96	99.94	99.94	99.98	99.96	99.98	99.98	99.99	99.95	100	
U	0.6	0.6	0.5	0.6	0.7	0.5	0.5	0.7	0.6	0.8	1.6	2.4	4	4.8	
Th	2.6	2	2.7	2.6	2.4	2.5	1.7	2	1.9	2.5	5.4	8.5	15	12.8	
Ta	0.4	0.4	0.4	0.5	0.4	0.5	1.8	0.5	0.5	0.3	0.9	1.1	1.4	1.0	
Sr	641.8	603	621	667.6	659.6	713.3	827.9	624.6	689.8	1206.3	586.6	559.4	77.8	406.5	
Sn	1	<1	1	1	<1	1	1	<1	<1	<1	1	2	<1	2	
Rb	30.3	26.4	29.3	24.6	21.9	30.9	19.1	29.9	30.2	22.6	78.3	89.5	194.4	142.8	
Nb	6.9	5.5	6.9	6	6.6	6.4	31.5	7.2	7.7	5.7	15.9	15.2	19	11.9	
Hf	2.2	1.9	2.1	1.7	2.6	2.3	3.5	2.3	2.4	1.7	5.0	5.5	8.1	5.4	
Ga	18.9	18.2	18.6	18	19.8	20.2	19	19.6	20.2	15.6	23	21.1	15.1	14	
Cs	0.5	1	0.5	0.3	0.3	0.3	0.8	0.7	0.3	0.8	1	1.8	1.2	48	
Lu	0.29	0.28	0.32	0.26	0.32	0.23	0.32	0.35	0.34	0.23	0.54	0.59	0.62	0.4	
Co	35.5	48.1	34.3	36.8	43.2	35.9	36.1	43.3	43.2	26.2	20	27.3	22.5	17.9	
Ho	0.72	0.74	0.77	0.63	0.77	0.64	0.92	0.84	0.78	0.57	1.07	1.36	1.24	0.66	
Er	1.98	2.06	2.34	1.73	2.21	1.88	2.64	2.47	2.34	1.6	3.3	3.94	3.69	2.02	
Tm	0.34	0.3	0.3	0.23	0.31	0.27	0.34	3.37	0.32	0.26	0.48	0.6	0.57	0.33	
Yb	1.99	1.92	2.18	1.62	2.15	1.76	2.31	2.49	2.34	1.66	3.25	3.83	4.05	2.37	
Be	1	1	1	1	1	1	1	1	1	1	1	2	2	2	
Tb	0.65	0.68	0.71	0.54	0.61	0.53	0.98	0.75	0.69	0.5	0.94	1.36	0.98	0.6	
Gd	4.16	4.16	4.64	3.39	4.43	3.67	6.38	4.67	4.5	3.01	6.67	8.55	5.94	3.37	
Eu	1.36	1.32	1.54	1.18	1.33	1.3	2.27	1.55	1.54	1.04	1.99	2.25	1.37	0.74	
Sm	4.1	4.5	4.4	3.5	4.1	4.2	7.3	5	4.7	3.2	7.5	8.7	6.9	3.7	
Nd	17.1	16.8	18.9	14	17.9	16.7	36.3	20.5	19.8	14.2	35.1	39.4	31.9	19.4	
Pr	3.9	3.92	4.46	3.49	4.32	3.95	8.59	4.6	4.5	3.18	8.82	9.36	8.46	5.23	
Ce	31.8	32.4	36.1	29.8	36.2	32.4	73.1	36.6	36	28	77.5	81.2	76.9	50.8	
La	15	15.7	16.7	14.1	16.7	15	32.8	17.4	16.7	13.4	37.3	37.8	35.1	26.9	
Y	20.4	21.2	22.6	17.1	22.4	19	26.5	25.1	22.8	15.9	32.6	41.3	36.4	26.7	
Zr	75.8	70.3	80.5	67.4	87.3	73.1	142	91.7	85.3	63.8	198.8	197.3	251.6	191.3	
W	95.9	86.3	110.8	125.9	87.7	83.2	41	102.3	124.6	44.7	71.4	65.2	166	131	
Ba	311.2	382	351	295.9	337.7	356.9	474.2	365	320.2	284.1	787.7	694.4	675.1	697.9	
Dy	3.71	3.84	4	2.97	4.09	3.29	5.08	4.65	4.2	2.82	5.57	7.37	5.99	3.27	
V	256	264	278	254	284	274	212	314	307	163	64	181	19	29	



شکل ۱- موقعیت منطقه مورد مطالعه و برخی توده‌های پیرامون آن را نشان می‌دهد. ساده شده از نقشه زمین‌ساختی ۱:۲۵۰۰۰۰ شمال ایران مرکزی شرکت ملی نفت ایران، بیرون‌زدگی‌های آتشفشنانی و آذرآواری (ائوسن) به ترتیب از ۱ تا ۳ شامل کوه‌های اراده (منطقه مورد مطالعه)، دوازده‌امام و سیاه کوه.

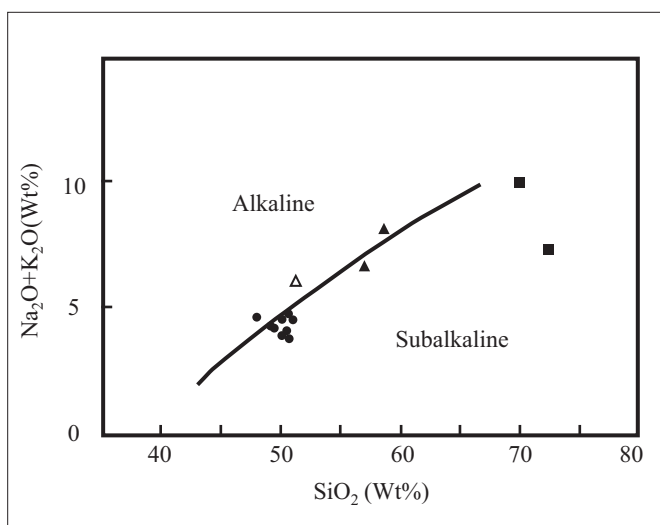


شکل ۲- بافت اوتاکسیتی در ایگنیمیریت (نور پلاریزه، بزرگنمایی ۴/۵).

شکل ۴-الف و ب) بافت غربالی پلاژیوکلاز در تراکی آندزیتها (نور پلاریزه، بزرگنمایی ۱۰).

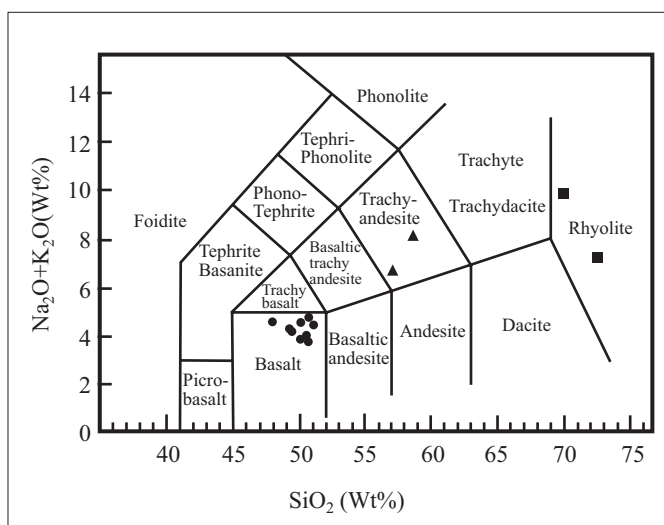
۴-ج) بافت غربالی کلینوپیروکسن در تراکی آندزیت بازالتی، در حاشیه این کانی زون‌بندی مشاهده می‌شود (نور پلاریزه، بزرگنمایی ۴/۵).

۴-د) نمایش حاشیه واکنشی در کلینوپیروکسن یک بازالت (نور پلاریزه، بزرگنمایی ۴).



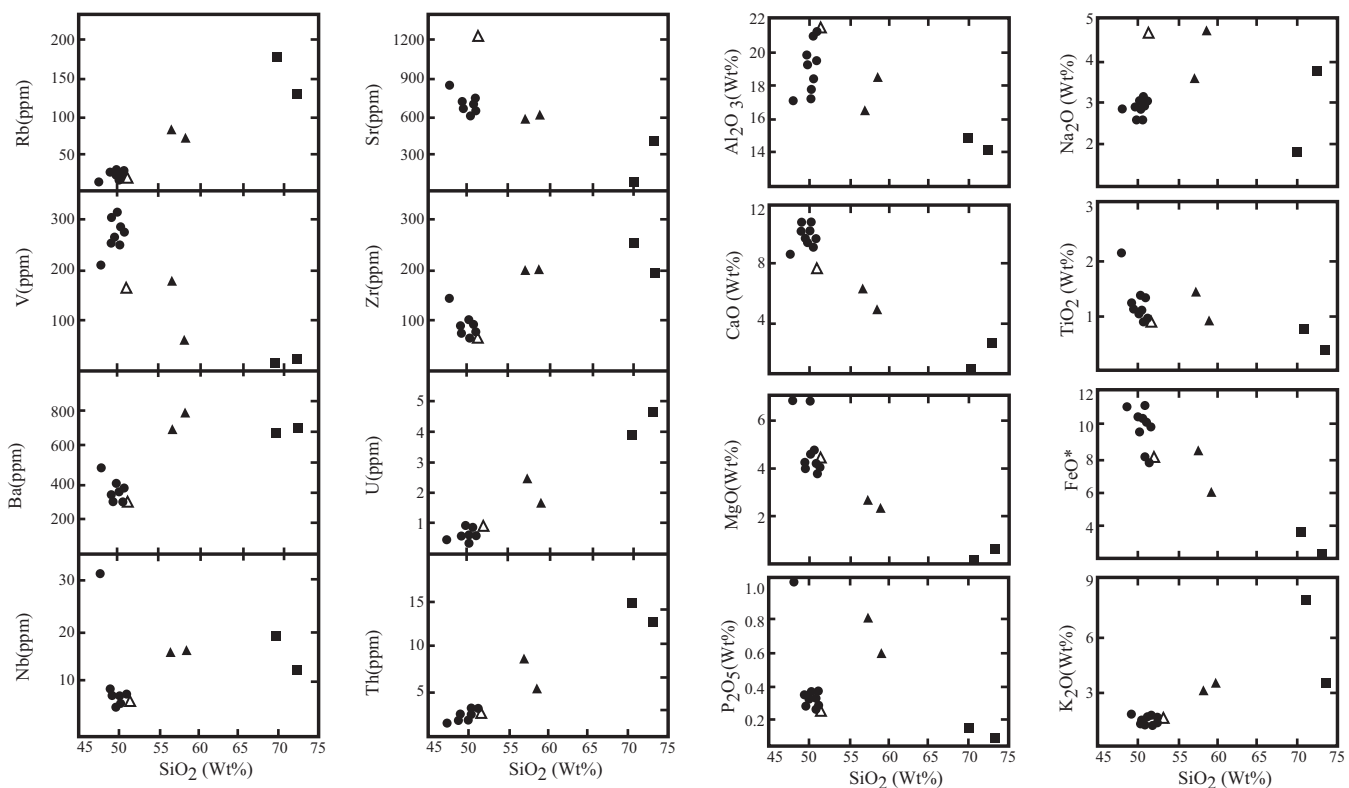
شکل ۶- نمودار قلیابی در برابر سیلیس (Le Maitre et al., 1989)

برای تفکیک قلمروی سریهای قلیابی و نیمه قلیابی از خط مرزی (Irvine & Baragar, 1971) استفاده شده است.

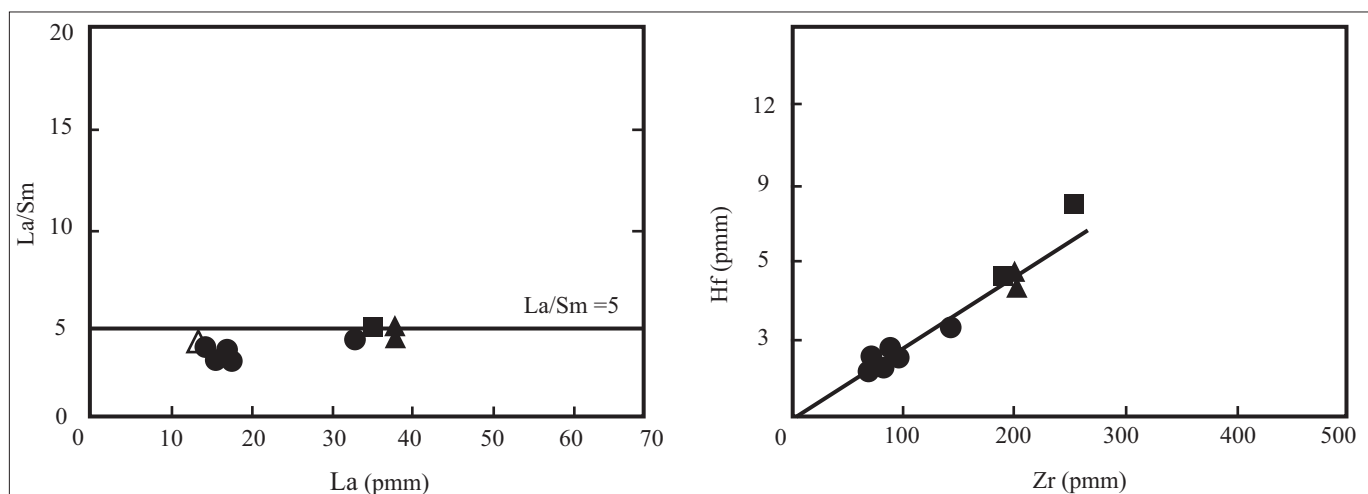


شکل ۵- نامگذاری سنگهای آتشفشنای جنوب کهریزک

با استفاده از نمودار (Le Bas et al., 1986)

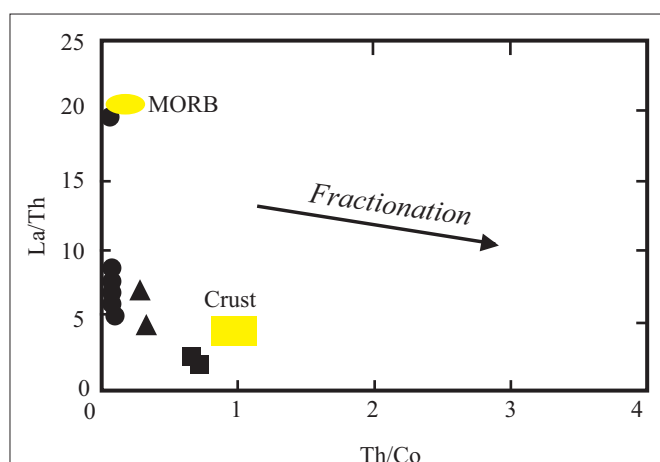


شکل ۷- نمودارهای هارکر، علائم به کار رفته مشابه شکل ۶ می باشد.



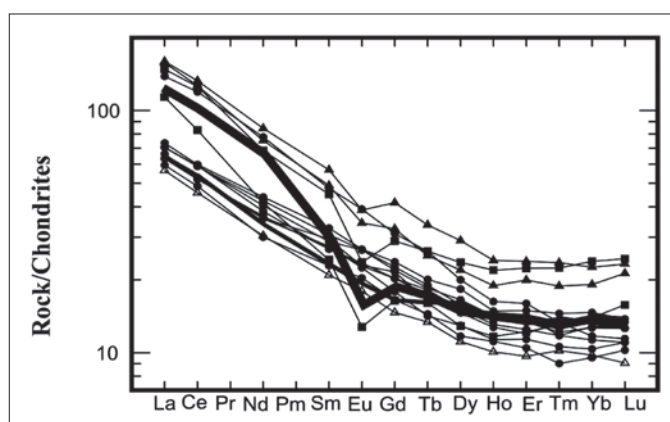
شکل ۹- نمودار تغییرات نسبت La/Sm در مقابل La (pmmm)

شکل ۸- نمودار Hf در برابر Zr

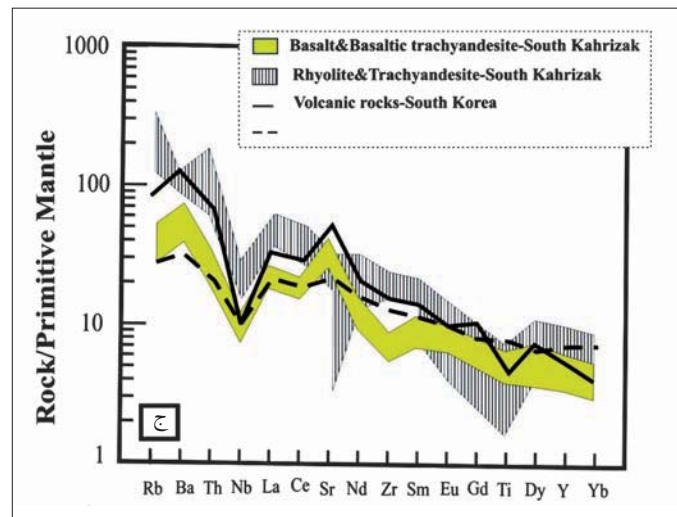
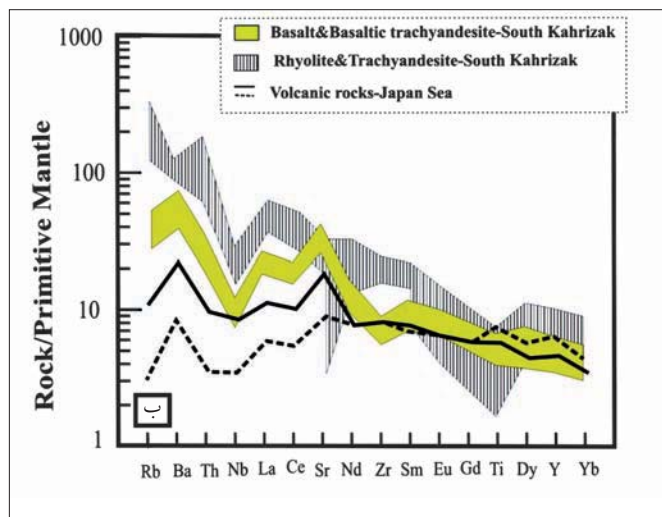
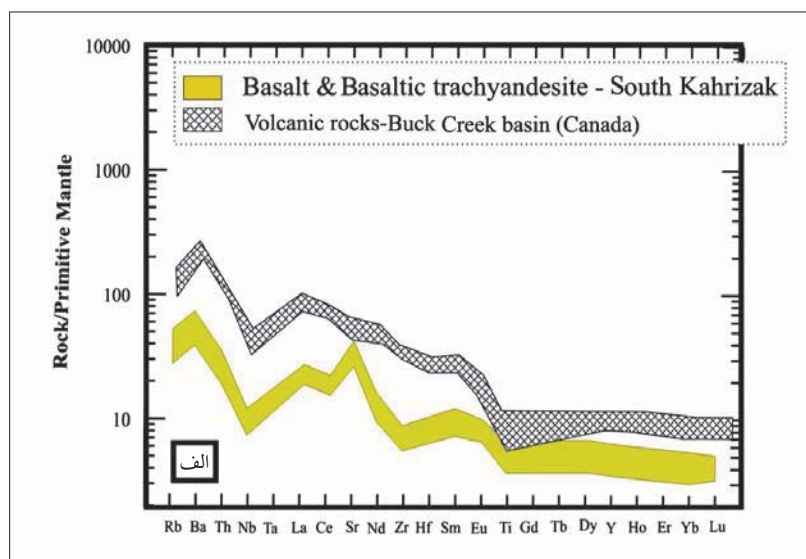


شکل ۱۰- نمودار تغییرات نسبت‌های La/Th در برابر Th/Co به عنوان شاخص

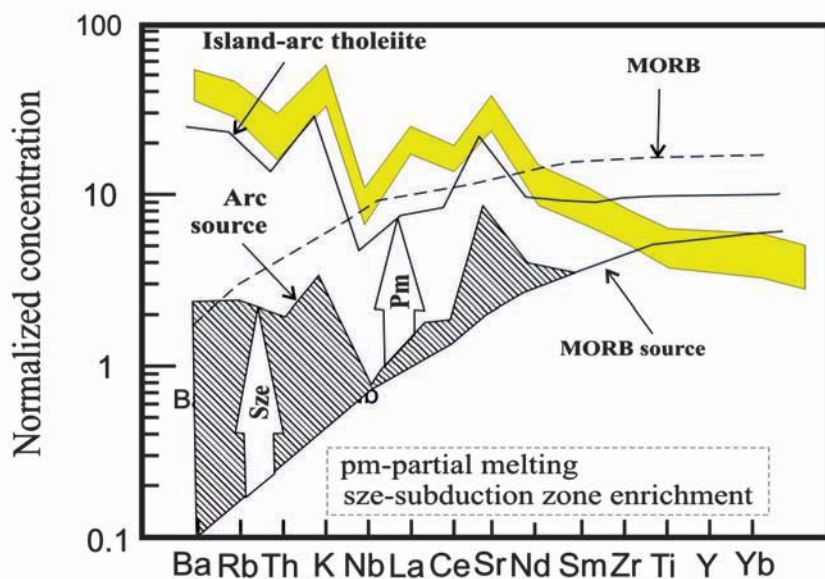
تفکیک جزء به جزء است. جهت پیکان روند تفریق را نشان می‌دهد.



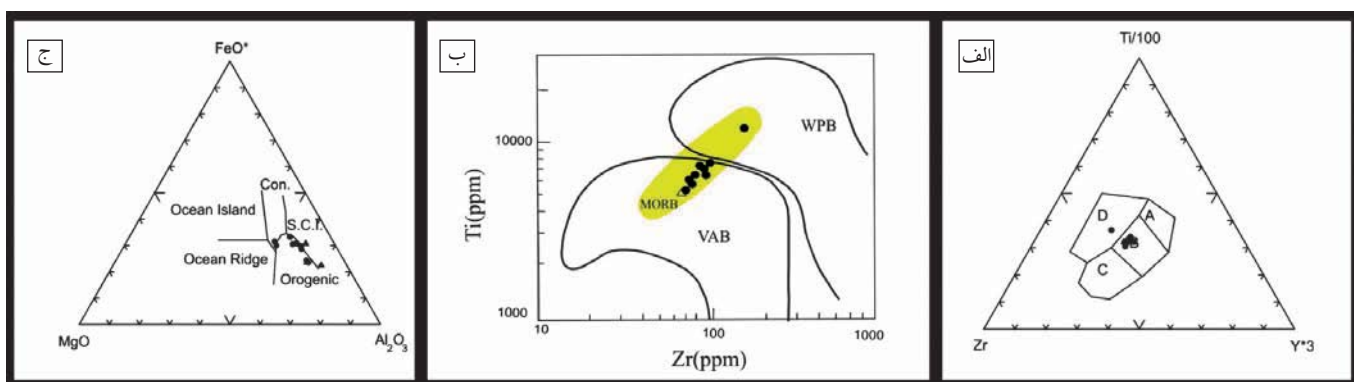
شکل ۱۱- مقایسه فراوانی عناصر خاکی کمیاب سنگهای آتشفشنانی جنوب کهربیزک که نسبت به کندوریت بهنجار شده‌اند (Sun & McDonough, 1989) با پوسته قاره‌ای (خط نازک‌تر) و پوسته بالایی (خط ضخیم‌تر) (Rollinson, 1993) مقایسه شده‌اند (علائم مانند شکل شماره ۹).



شکل ۱۲- (الف) سنگهای بازالتی و تراکی آندزیت بازالتی توده آتشفشنای جنوب کهریزک را با سنگهای آتشفشنای ائوسن حوضه کششی داخل کمان (Dostal et al., 2001) مقایسه می کند.
شکل ۱۲- (ب) سنگهای منطقه بازالتی‌های حوضه پشت کمان (خط چین) و توئیت‌های کافت قاره‌ای (خط پیوسته) می‌وشن در حوضه یاما توی ژاپن (Pouclet et al., 1994) مقایسه شده‌اند. گسترش حوضه پشت کمان در منطقه مزبور از مراحل کافتش پیروی می کند. در شکل ۱۲- (ج) مقایسه‌ای با سنگهای آتشفشنای کرتاسه تا سنتزوزوییک جنوب کره (خط پیوسته حوضه درون کمانی بالغ و خط چین رژیم کششی) (Pouclet et al., 1994) صورت گرفته است.

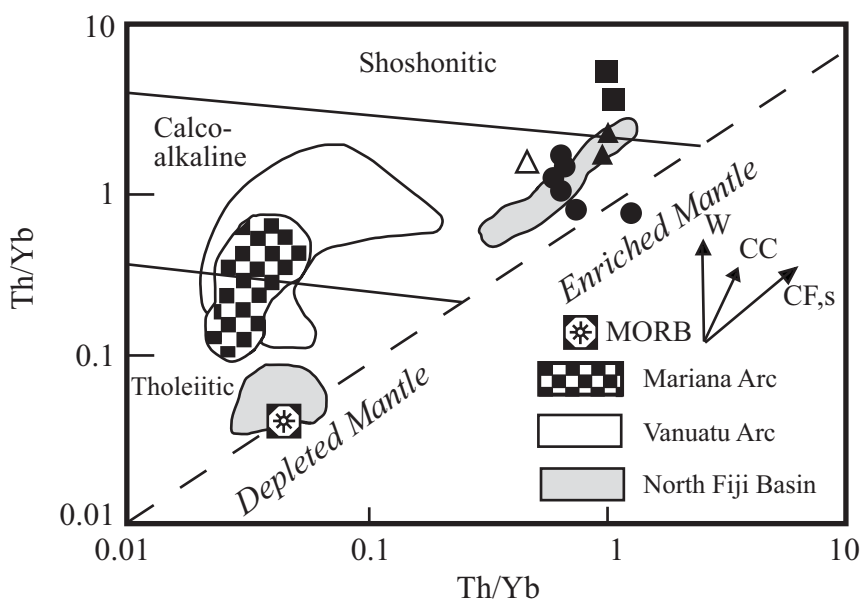


شکل ۱۳- مدل شماتیکی برای تفکیک مشخصات عناصر کمیاب کمان ماگمایی از منشأ MORB (MacDonald et al., 2000). سنگهای بازالتی و تراکی آندزیت بازالتی با محدوده خاکستری مشخص شده است. غنی شدگی زون فروزانش (Sze) به عناصر سیال قابل حل با منشأ MORB اضافه شده، به طوری که بوسیله پیکان نشان داده شده است. منشأ غنی شده سپس به طور بخشی ذوب شده (Pm) تا یک تولیت جزایر کمانی اولیه را تولید کند.

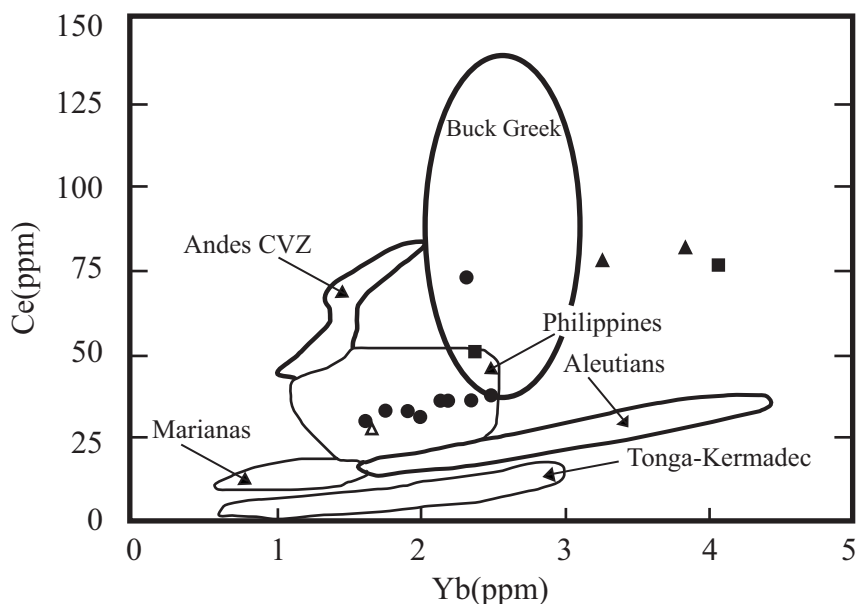


شکل ۱۴- (الف) نمودار متمايز کننده Ti-Zr-Y (Pearce & Cann, 1973)

A. محدوده تولیتیهای جزایر کمانی، C بازالتیهای کلسیمی-قلیابی، D بازالتیهای درون صفحه ای و B MORB، تولیتیهای جزایر کمانی و بازالتیهای کلسیمی-قلیابی است. ب) نمودار لگاریتمی Zr - Ti که محدوده بازالتیهای کمان آتشفشنانی (VAB) و بازالتیهای درون صفحه ای (WPB) را نشان می دهد (Peate et al., 1977) MgO-FeO-Al₂O₃. ج) نمودار صفحه ای (Pearce, 1983) MORB ، بازالتیهای پشتہ های میان اقیانوسی؛ Ocean Island، بازالتیهای اقیانوسی؛ Con بازالتیهای قاره ای؛ S.C.I بازالتیهای جزیره مرکز گسترش؛ Ocean Ridge ، بازالتیهای کوهزایی است.



شکل ۱۵- نمودار Th/Yb - Ta/Yb ، تقسیم‌بندی جزئی تر در محدوده بازالت‌های کمان آتشفشنانی به انواع توئیتی، کلسیمی-قلیابی و شوشوئیتی، در این نمودار صورت گرفته است. W، غنی‌شدگی از یک فاز سیال؛ CC، آلایش پوسته‌ای؛ CF، تفرقی بلوری؛ S، غنی‌شدگی که به منشأ مربوط می‌شود. در این شکل مقایسه‌ای بین سنگهای جنوب کهربیزک با کمان نوواتو و حوضه شمال فیجی (Rolland et al., 2000) و کمان ماریانا (Elliott et al., 1997) (Peate et al., 1997) صورت گرفته است.



شکل ۱۶- نمودار تغییرات $\text{Ce} - \text{Yb}$. قلمروی سنگهای آتشفشنانی حوضه Buck Creek در کانادا (Hawkesworth et al., 1993) و همچنین قلمروی کمانهای اقیانوسی (Aleutians, Marianas, Tonga-Kermadec) (جزایر کمانی (Philippines) و کمان قاره‌ای (Andes – Central Volcanic Zon) در شکل مشخص شده است (Dostal et al., 2001). سنگهای آتشفشنانی جنوب کهربیزک در محدوده‌ای به دور از کمان قاره‌ای قرار گرفته‌اند (علائم مانند شکل شماره ۹).

کتابنگاری

- بربریان، م. و یاسینی، ۱۳۶۲- گوناگونی و گسترش رخسارهای و خطهای کلی پارینه جغرافیایی نوژن در ایران زمین. در: مر، ف. و مدبری، س. (۱۳۸۰) زمین ساخت صفحه‌ای و فرایندهای زمین شناختی. ۴۴۶، انتشارات کوشانهر بنی طباء بید گلی، ع.، ۱۳۶۸- مطالعه پتروگرافی و پترولوری و ژئوشیمی مجموعه آتشفشنانی منطقه سیاه کوه (شمال شرق دریاچه نمک)، رساله کارشناسی ارشد، دانشگاه تربیت معلم.
- حسینی، م.، ۱۳۶۷- پترولوری و ژئوشیمی مجموعه آتشفشنانی منطقه دوازده امام (شمال دریاچه نمک)، رساله کارشناسی ارشد، دانشگاه تربیت معلم.
- رضوی، م. ح.، ۱۳۵۳- بررسی کانسار منگنز محمد آباد و سنگهای اطراف آن (جنوب تهران - منطقه حسن آباد)، رساله کارشناسی ارشد، دانشکده علوم دانشگاه تهران.
- روان بد، ب.، ۱۳۶۶- مطالعه متالوژنی کانسار منگنز ریاط کریم از دید گاه ژئوشیمیایی، رساله کارشناسی، دانشگاه تهران.
- طوطی، ف.، و بازار گانی گیلانی، ک.، و بیزدانی، س.، ۱۳۸۳- سنگ‌شناسی توده آتشفشنانی زئولیت‌دار جنوب کهریزک (جنوب تهران) با نگرشی به منشأ آنالسیم، خلاصه مقالات بیست و سومین گردهمایی علوم زمین.

References

- Alison, M. Raos. & Crawford, A. J., 2004 - Basalts from the Efate Island Group, central section of the Vanuatu arc, SW Pacific: geochemistry and petrogenesis. *J. Volcanol. Geotherm. Res.*, 134: 35-36.
- Allegre, C. & Minster, J. F., 1978- Quantitative models of trace element behaviour in magmatic processes. *Earth Plae. Sci. lett.* 38: 1-25.
- Bazargani-Guilani, K. & Rabbani, M. S., 2004 - Amigdaloidal and other cavity filling Zeolites of Kuh-e-Aradeh, Central Iran. *Journal of Sciences, Islamic Republic of Iran.*, 152:149-157.
- Berberian, M., 1983- The southern Caspian: A compressional depression floored by a trapped, modified oceanic crust. *Canada Journal of Earth Science.* 20: 163-183.
- Dostal, J., Church, B. N., Reynolds, P. H. & Hopkinson, L., 2001- Eocene volcanism in the Buck Creek basin, central British Columbia (Canada): transition from arc to extensional volcanism. *J. Volcanol. Geotherm. Res.*, 107: 149-170.
- Draper, D. S. & Johnston, A. D., 1992- Anhydrous PT phase relations of an Aleutian high-MgO basalt: an investigation of the role of olivine-liquid reaction in the generation of arc high-alumina basalts. In: Macdonald, R., Hawkesworth, C. J. and Heath, E., 2000-The Lesser Antilles volcanic chain: a study in arc magmatism. *Earth-Science Reviews*, 49: 1-76.
- Elliott, T., Plank, T., Zindler, A., White, W., Bourdon, B., 1997- Element transport from slab to volcanic front at the Mariana arc. *J. Geophys. Res.* 102:14991-15019.
- Gioncada, A., Mazzuoli, R., Bisson, M. & Pareschi, M. T., 2003- Petrology of volcanic products younger than 42 ka on the Lipari-Vulcano complex (Aeolian Islands, Italy): an example of volcanism controlled by tectonics. *J. Volcanol. Geotherm. Res.*, 122:191-220.
- Hassanzadeh, J., Guest, B. & Ghaszi, A. M., 2003- Tertiary magmatic arcs of Iran: a new interpretation. Submitted to *Geology Society of America monthly Journal*.
- Hawkesworth, C. J., Gallagher, K., Herdt, J. M. & McDermott, F., 1993a- Mantle and slab contributions in arc magma. *Geology*. 17: 46-49.
- Irvine, T. N. & Baragar, W. R. A., 1971- A guide to the chemical classification of the common volcanic rocks. *Can. J. Earth. Sci.*, 8: 523-548.
- Juteau, T. & Maury, R., 1997- Geologie de la Croute Oceanique: Petrologie et Dynamique Endogenes, 569p.
- Krauskopf, K. B. & Bird, D. K., 1995- Introduction to geochemistry. McGraw-hill, Inc. 647p.
- Le Bas, M. J., Le Maitre, R. W., Streckeisen, A. & Zannettin, B., 1986- A chemical classification of volcanic rocks based on the total alkali- silica diagram, *Journal. Petrol.*, 27: 745-750.
- Le Maitre, R. W., 1976- Some problems of the projection of chemical data in to mineralogical classifications, *Contrib. Mineral. Petrol.*, 56: 181-189.



- Le Maitre, R. W., Bateman, P., Dudek, A., Keller, J., Lamaeyre LeBas, M. J., Sabine, P. A., Schmid, R., Sorenson, H., Streckeisen, A., Woolley, A. & Zanettin, B., 1989- A classification of rocks and glossary of terms. Blackwell Science, Axford, 193p.
- Macdonald, R., Hawkesworth, C. J. & Heath, E., 2000- The Lesser Antilles volcanic chain: a study in arc magmatism. Earth-Science Reviews. 49: 1-76.
- Nakagawa, M., Wada, K. & Wood, C. P., 2002- Mixed magmas, mush chambers and eruption triggers; evidence from zoned clinopyroxene phenocrysts in Andesitic scoria from the 1995 eruptions of Ruapehu volcano, New Zealand. Journal of petrology. 43,12: 2279-2303.
- Nelson, T. S. & Montana, A., 1992- Sieve-textured plagioclase in volcanic rocks produced by rapid decompression. American Mineralogy. 77: 1242-1249.
- Pearce, J. A. & Cann, J. R., 1973- Tectonic setting of basic volcanic rocks determined using trace element analysis. Earth Planet. Sci. Lett., 19: 290-300.
- Pearce, J. A., 1983- Role of the sub-continental lithosphere in magma genesis at active continental margins. In: Rollinson, h. R., 1993- Using Geochemical Data: Evaluation, Presentation, Interpretation. John Wiley and Sons, 325p.
- Peate, D.W., Pearce, J.A., Hawkesworth, C.J., Colly, H., Edwards, C.M.H., Hirose, K., 1997- Geochemical variations in Vanuatu Arc lavas: the role of subducted material and a variable mantle wedge composition. J. Petrol. 10: 1331-1358.
- Pichavant, M., 1993- Anatexie crustale et volcanisme. In: Juteau, T. and Maury, R., 1997- Geologie de la Croute Oceanique: Petrologie et Dynamique Endogenes, 569p.
- Pouclet, A., Lee, J., Vidal, P., Cousens, B. & Bellon, H., 1994 - Cretaceous to Cenozoic volcanism in South Korea and in the Sea of Japan: magmatic constraints on the opening of the back-arc basin. In J. L., S., ed., Volcanism associated with extension at consuming plate margins. Geology Society of London. 169-191.
- Rieben, H., 1955- The geology of the Tehran plain. American Journal of Science. 253:617-639.
- Rolland, Y., Pecher, A. & Picard, C., 2000- Middle Cretaceous back-arc formation and arc evolution along the Asian margin: the Shyok Suture Zone in northern Ladakh (NW Himalaya). Tectonophysics. 325: 145-173.
- Rollinson, h. R., 1993- Using Geochemical Data: Evaluation, Presentation, Interpretation. John Wiley and Sons, 325p.
- Sakuyama, M., 1979- evidence of magma mixing: petrological study of Shiromura-Oike calc-alkaline andesite volcano, Japan. J. Volcanol. Geotherm. Res., 5: 179-208.
- Stevenson, R., Henry, P. & Gariety, C., 1999- Assimilation-fractional crystallization origin of Arcean Saukitoid Suites: Western Superior Province, Canada. Precambrian Res., 96: 83-99.